Titre: UMAT001 - Test de l'interface Code_Aster-Umat en t[...]

Responsable : ABBAS Mickaël

Date : 22/02/2013 Page : 1/5 Clé : V1.03.124 Révision 3aa9fde25f25

UMAT001 – Test de l'interface *Code_Aster-*Umat en thermo-élasticité linéaire

Résumé:

On effectue, sur un problème thermo-élastique linéaire, une comparaison entre *Code_Aster-*Umat et *Code-Aster* avec le comportement <code>ELAS</code>. Ce test permet de valider l'interface Aster-Umat, en particulier la bonne prise en compte des dilatations thermiques.

La modélisation A valide l'interface en AXIS.

La modélisation B valide l'interface en grandes déformations (DEFORMATION = 'GDEF LOG')

La modélisation C valide valide l'interface en AXIS. avec variables de commandes.

Titre: UMAT001 - Test de l'interface Code Aster-Umat en t[...]

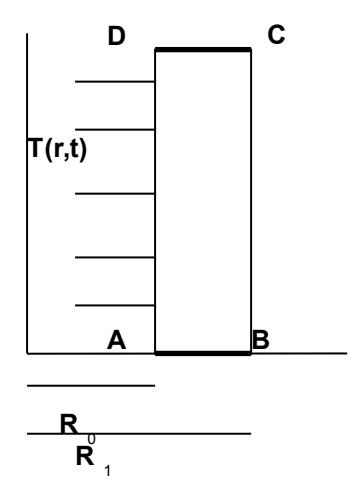
Date: 22/02/2013 Page: 2/5 Responsable : ABBAS Mickaël Révision Clé: V1.03.124

3aa9fde25f25

Problème de référence

1.1 Géométrie

Il s'agit d'un cylindre creux, analogue à celui traité dans SSNA106.



$$R_0$$
 1 m R_1 2 m

1.2 Propriétés des matériaux

1.2.1 **Données Umat**

L'élasticité se traduit, pour le comportement Umat présent à titre d'exemple dans les sources de Code Aster, par:

$$CI = \lambda = \frac{E \nu}{(1+\nu)(1-2\nu)}$$

$$C2 = \mu = \frac{E}{2(1+\nu)}$$

$$C3 = C4 = C5 = 0$$

1.2.2 Données Aster

Module d'Young : E=1 MPaCoefficient de Poisson : v = 0.3Coefficient de dilatation : $\alpha = 0.7$

Conditions aux limites et chargements 1.3

Conditions aux limites:

Le cylindre est bloqué en DY sur les côtés $\lceil AB \rceil$ et $\lceil CD \rceil$.

Chargement:

Le cylindre est soumis à un champ de température $T(r,t)=tr^2$

Titre: UMAT001 - Test de l'interface Code_Aster-Umat en t[...]

Responsable : ABBAS Mickaël

Date: 22/02/2013 Page: 3/5 Clé: V1.03.124 Révision

Révision 3aa9fde25f25

2 Solution de référence

On fait une inter-comparaison entre les résultats obtenus avec le comportement ELAS et ceux obtenus avec le comportement Umat.

3 Modélisation A

3.1 Caractéristiques de la modélisation

Le problème est modélisé en axisymétrie: AXIS.

3.2 Caractéristiques du maillage

Le maillage comporte 200 mailles de type QUAD4.

3.3 Grandeurs testées et résultats

Comparaison des résultats obtenus avec la loi ELAS avec ceux obtenus avec la loi UMAT.

Identification	Type de référence	référence (Code_Aster, loi ELAS)	Tolérance ($\%$)
σ _{yy} de SIEF_ELGA	'ANALYTIQUE'	-0.3658	0.10
DX(B)	'ANALYTIQUE'	1,092	0.10

4 Modélisation B

4.1 Caractéristiques de la modélisation

Les chargements et matériau sont identiques à ceux de la modélisation $\ A$.

Seul change le modèle de grandes déformations : on compare ici $SIMO_MIEHE$ avec un comportement $VMIS_ISOT_LINE$ (simulant un comportement élastique, par l'intermédiaire d'une limite d'élasticité élevée) et un comportement UMAT (élastique également) avec $GDEF_LOG$.

4.2 Caractéristiques du maillage

Le maillage est identique à celui de la modélisation A: 200 éléments de type QUAD4.

4.3 Grandeurs testées et résultats

Comparaison des résultats obtenus avec la loi SIMO MIEHE avec ceux obtenus avec GDEF LOG.

Identification	Type de référence	référence (Code_Aster, SIMO_MIEHE)	Tolérance (%)
σ_{yy} de SIEF_ELGA	'AUTRE_ASTER'	-0.029	10.0
DX(B)	'AUTRE_ASTER'	0,103	7.9

Titre: UMAT001 - Test de l'interface Code Aster-Umat en t[...]

Date: 22/02/2013 Page: 4/5 Responsable: ABBAS Mickaël Clé: V1.03.124 Révision

3aa9fde25f25

Modélisation C 5

Les chargements et matériau sont identiques à ceux de la modélisation $\,A\,$.

Seules changent les variables de commande : on utilise ici SECH en plus de la température et on choisit pour coefficient de dilatation la moitié de celui utilisé dans la modélisation A. On affecte aussi cette valeur au coefficient de dilatation due au séchage.

La dilatation « thermique » sera donc composée d'une moitié de dilatation thermique pure et d'une autre moitié de déformation due au séchage. Les résultats doivent être identiques à ceux de la modélisation A.

5.1 Caractéristiques de la modélisation

Le problème est modélisé en axisymétrie: AXIS.

5.2 Caractéristiques du maillage

Le maillage comporte 200 mailles de type QUAD4.

5.3 Grandeurs testées et résultats

Comparaison des résultats obtenus avec la loi ELAS avec ceux obtenus avec la loi UMAT.

Identification	Type de référence	référence (Code_Aster, loi ELAS)	Tolérance ($\%$)
σ_{yy} de SIEF_ELGA	'ANALYTIQUE'	-0.3658	0.10
DX(B)	'ANALYTIQUE'	1,092	0.10

5.4 Remarques

Les résultats issus des deux modèles de grandes déformations (SIMO MIEHE et GDEF LOG) sont également testées en NON REGRESSION à 0.1%.

Titre: UMAT001 - Test de l'interface Code_Aster-Umat en t[...]

Responsable : ABBAS Mickaël

Date: 22/02/2013 Page: 5/5 Clé: V1.03.124 Révision

3aa9fde25f25

6 Synthèse des résultats

Les résultats obtenus sont en parfait accord entre Code_Aster-Umat et Code_Aster.

Les deux modèles de grandes déformations (SIMO_MIEHE et GDEF_LOG donnent des résultats différents (8 à 9% de différence) ce qui s'explique par la différence de formulation en élasticité (l'un étant hyper-élastique et l'autre hypo-élastique). Ce test montre de fait la possibilité d'utiliser UMAT en grandes déformations.